

名古屋工業大学 正員 細井 正延
名古屋工業大学 学生員 ○鬼束 博文

1. まえがき

碎波は波が岸に近づき波高が大きく成長して波形の安定性を失うことによって生ずる現象であるが、風が作用する場合その碎波の状態はさらに複雑になってくる。本文は風が碎波水深、碎波高に対してどのような影響を及ぼすかを実験的に解明しようとするもので、ここでは碎波水深のみについて報告する。

2. 実験方法

幅 60 cm、高さ 120 cm、長さ 26.9 m の両面ガラス張りの風洞付き水槽を使用し、造波板より 18.5 m、風の吹き出し口より 12.0 m の位置より 1/15 の一様勾配斜面を設け、打ちあげ部には碎石を敷いてできるだけ反射を消すようにした。実験は造波板で規則波を起こしたうえに風を吹かせて行った。

碎波点の位置は図-1 に示すような波形の対称性が失われる点を目視的に判断し、その地点の前後を 16 mm カメラ (32コマ/sec) で撮影するとともに抵抗線式波高計も用いて波形を測定した。また、波の峰における最大水粒子速度が波速に等しいときに碎波するという考え方に基づいて波速と水粒子速度を測定した。波速は碎波点とその沖側約 1 m のところに 2 本の波高計を設置し、波の峰が通過する時間を測定してその値で波高計間の距離を除して求めた。

一方水粒子速度は 16 mm カメラ (64コマ/sec) で水面下 2 cm 付近の中立粒子 (比重 1.02) の動きを撮影し、その移動量を読みることによって求めた。水面上の風速分布は碎波点から沖側へ 40 cm の位置でヒト一箇によつて測定した。その場合水槽内の水には、表面に作用する風のせん断力のうち小じわ状の風波の存在によって受けもたれる部分を取り除くため、界面活性剤としてラウリル硫酸ナトリウムを混入して風波の発生を抑制した。実験条件は表-1 のようである。h は水平部の水深、H は静水面上 30 cm の位置での風速である。

3. 実験結果および考察

図-2 は碎波水深と換算冲波波高の関係を示したものである。

表-1 実験条件

碎波点の位置は水深、周期の大きさにかかわらず風速の大きい場合ほど沖側へ移動する。一方換算冲波波高に対する碎波水深の比 (h_0/h') は、RUN No. 2, 4 のように波形勾配が小さな場合には風速が増すにつれ規則正しく大きくなっている。しかし No. 1, 3 のように波形勾配が大きい場合には変化が多少不規則になっている。これは風速の大きな場合 (c, d) では完全な巻き波になるのに対し、

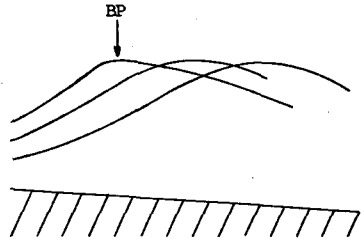


図-1 碎波点

RUN No.	h (cm)	T (sec)	U (m/sec)	H_0/L_0
1a	35	1.02	0	0.076
b			4.9	0.078
c			7.6	0.084
d			10.2	0.090
2a		1.17	0	0.042
b			5.1	0.043
c			7.5	0.043
d			10.2	0.051
3a	30	1.02	0	0.054
b			5.0	0.057
c			7.6	0.066
d			9.9	0.071
4a		1.24	0	0.027
b			4.9	0.029
c			7.6	0.029
d			9.9	0.035

風速の小さな場合(b)は崩れ波と巻き波の中間的な碎波となり碎波点が比較的沖側になるためである。

風がある場合とない場合での水平部での波高と同じにしておいて、碎波点付近での波速(C_0 , C)および水粒子速度(u)を測定した結果が表-2である。

風が波速に及ぼす影響については Shemdin が実験によりその関係を報告している。¹⁾ 図-3 にプロットした 2 点は $T=1.02\text{ sec}$ の場合であるが、これからわかるように碎波点付近の波速も風速の大きさに伴ない増加していく。しかしその増加率(C/C_0)は Shemdin の結果よりも大きくなっている。また、風によって最大水粒子速度が大きくなっていることが表-2 から

知られる。本実験では碎波点を図-1 のように定義しているので

u は C よりかなり小さいが、No.

No.	$h(\text{cm})$	$T(\text{sec})$	$U(\text{m/sec})$	$C_0(\text{cm/sec})$	$C(\text{cm/sec})$	C/C_0	$u(\text{cm/sec})$
1	30		0	126.0			86.6
2		1.02	6.2		132.4	1.05	
3			7.6		133.8	1.06	96.1

表-2 碎波点付近での波速および水粒子速度

1 と 3 の u/C_0 と u/C の値を比べるとほぼ同じであることがわかる。また、碎波の限界については Rayleigh が限界値 $C/\sqrt{gh} < \sqrt{2}$ 、 McCowan が $C/\sqrt{gh} < 1.25$ 、 Davis および山田が $C/\sqrt{gh} < 1.29$ を報告しているが、本実験では $C/\sqrt{gh} = 1.10$ 、風のある場合でも $C/\sqrt{gh} = 1.13$ (No. 3) であり限界値に比べて小さい値である。このように碎波点の位置の決め方には多少問題があるが、風のない場合とある場合との碎波水深の相対的関係は図-2 によって説明できるであろう。

風が水面に与えるせん断力と u 、 C との関係を考察するために、測定した水面上の風速分布から風の摩擦速度 u_* を求めた。その値は本多・光易の実験結果²⁾と比較するとかなり大きな値となるが、これについてはさらに多くの実験を行なって検討しなければならない。

4. あとがき

碎波に及ぼす風の影響について波速、水粒子速度の変化およびせん断力について述べたが、今後はそれらが風速の大きさによってどのように変化していくか、また碎波点の位置すなわち碎波の波形とどう関連しているのかなど詳しく調べていくつもりである。

最後に、実験および解析に協力された本学学生井手宏、渡辺淳一君に対し感謝の意を表します。

参考文献 1) Shemdin, O.H.: Proc. of 13th Conf. on Coastal Eng., 1972, Canada.

2) 本多忠夫・光易 恒: 第34回年次学術講演会講演概要集, 1979年.

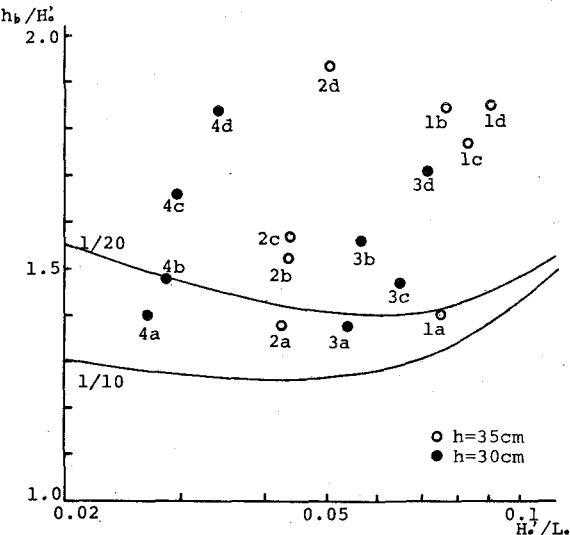


図-2 碎波水深と換算冲波波高

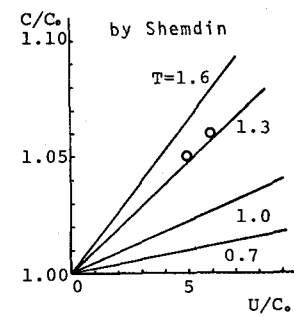


図-3 波速の増加率